Aspects de la recherche en Photovoltaïque au CUEPE

André Mermoud CUEPE 29 mars 2007

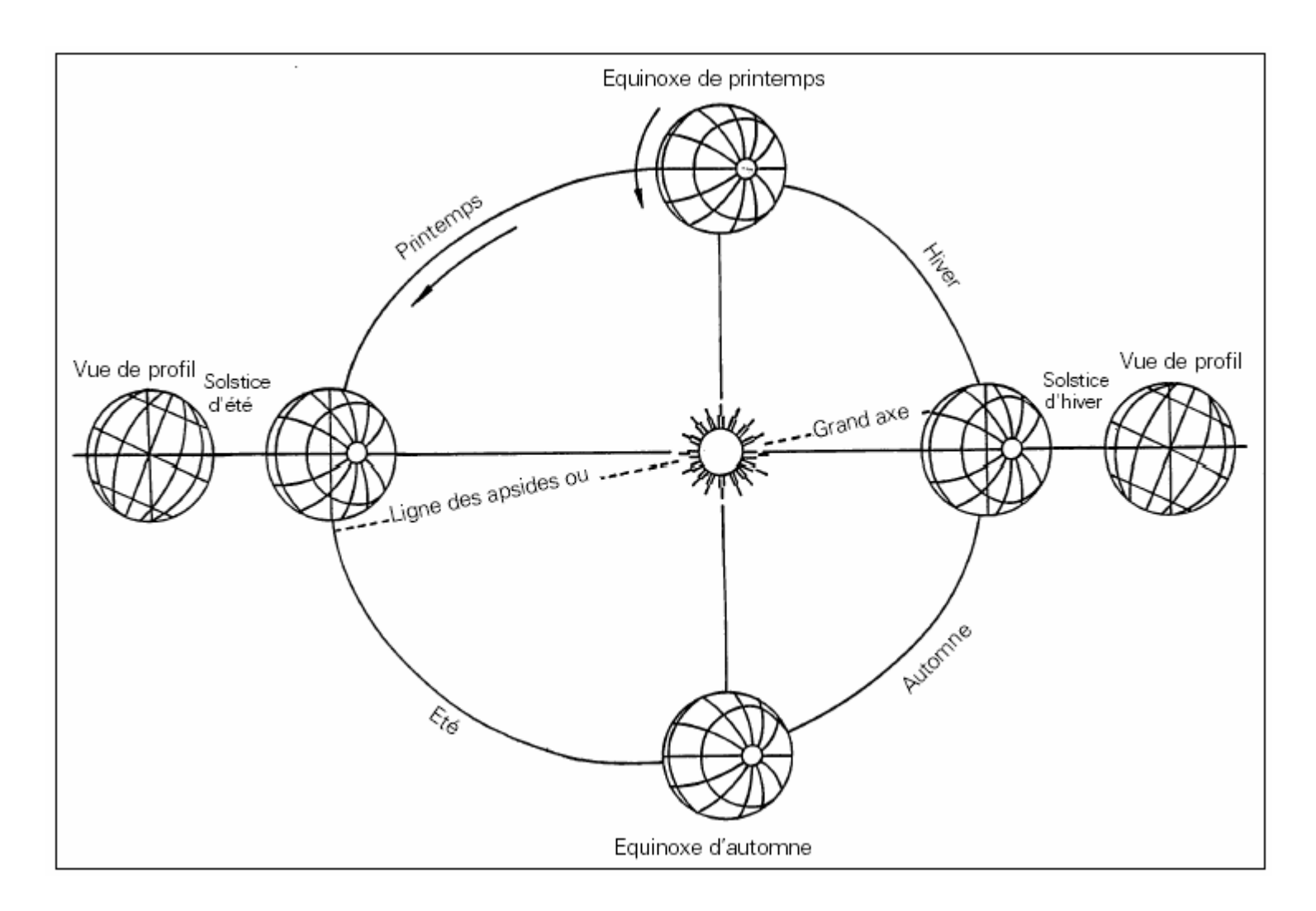


Sommaire

- · Le potentiel solaire
- · L'état de la technologie
- · Activités PV au CUEPE:
 - Le logiciel PVsyst
 - Modélisation de modules PV amorphes
 - Pompage solaire
 - Chlorinateur



Le système Terre - Soleil





Le potentiel solaire

Puissance solaire interceptée par la Terre:

174'000 TW soit 342 W/m²

Energie: 1.5 * 10¹⁸ kWh/an

Au niveau de la mer: reste 50% 169 W/m² en moyenne

Energie: $6500 \times \text{la consommation mondiale}$ (10 GTep)

Energies induites par l'énergie solaire: Potentiel ENR

"récupérable"

Evaporation/convection	80 W/m²	·
Photosynthèse	0.24 W/m^2	6 GTep
Vents	$0.7 W/m^2$	1.7 <i>G</i> Tep
Géothermie	0.06 W/m ²	0.2 <i>G</i> Tep
Hydroélectricité	0.01W/m^2	1.2 GTep
En. solaire PV + TH	0.007 W/m^2	0.3 <i>G</i> Tep

cuepe

L'apport du PV à Genève

Consommation électrique du canton: 2'700 GWh 674 W/hab (usages domestiques: 207 W/hab)

Production Photovoltaïque 2006: 3.2 GWh 0.75 W/hab (3'200 kWc installés) 0.12% 0.06 m²/hab

Si on veut passer à 20% de la consommation électrique globale:

Production Photovoltaïque 540 GWh 135 W/hab

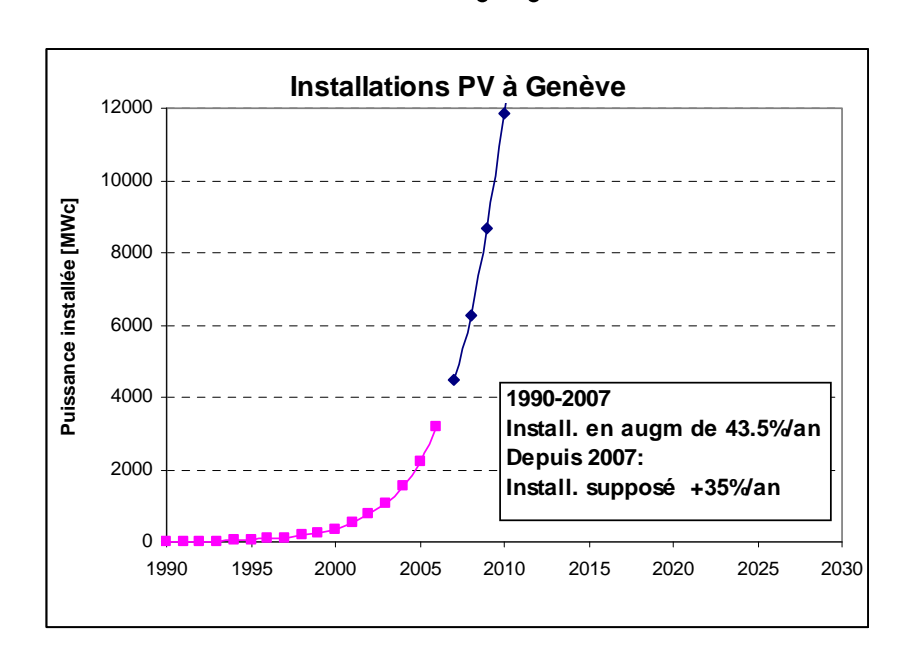
→ il faut installer 1.25 kWc/hab

soit 10 m² de capteurs/hab (4.5 Millions m²)

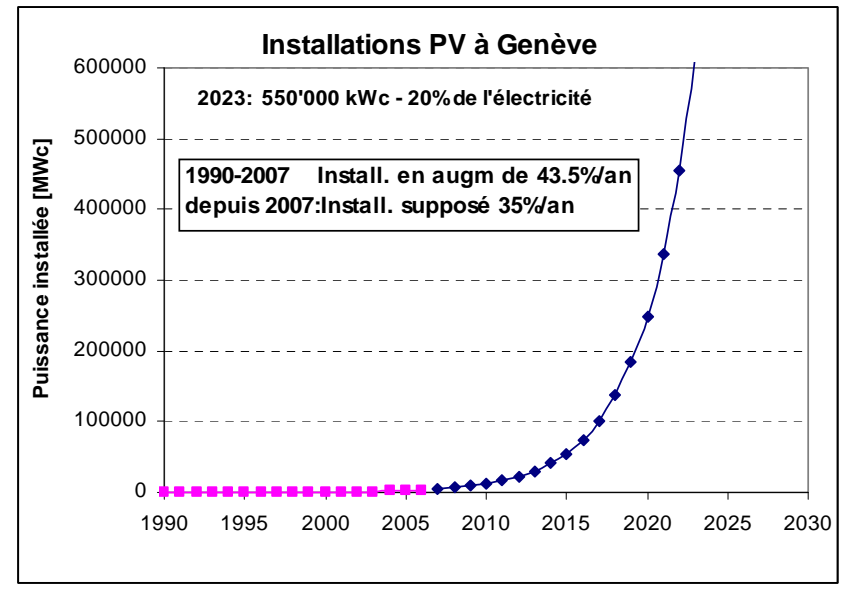


L'apport du PV à Genève

43.5%



Si on continue à 35%/an: 550'000 kWc installés en 2023 1990: première centrale 3 kWc 2006: 3'200 kWc installés représente une augmentation annuelle des installations de





Quelques chiffres-clés

Puissance lumineuse du soleil, perpendiculaire Energie sur plan horizontal à Genève Puissance moyenne horizontal à Genève 1000 W/m2 1200 kWh/m2 137 W/m2

Energie produite par une installation PV (optimale à Genève)

1000 kWh / kWc 120 kWh / m2 11 %

=> Facteur d'utilisation d'une installation PV Surface de capteurs nécessaire pour 1 kWc

8 m2 / kWc



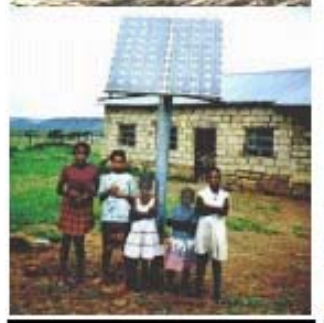
Petite histoire des photopiles

- 1839: Antoine Becquerel découvre la production directe d'électricité par la lumière
- 1912: Einstein explique le mécanisme
- 1950: Premières cellules PV, pour l'alimentation de satellites
- 1970-1990: Les cellules évoluent avec le développement de l'industrie de l'électronique et atteignent des prix abordables pour les utilisations isolées
- 1985-90: Premières installations pour la production d'électricité, couplées au réseau
- Dès 1995 ... Programmes nationaux (Allemagne, Japon) L'industrie du PV progresse très vite, avec des taux d'expansion de l'ordre de 35% à 40% par an



Utilisations















Systèmes isolés grand public off-grid habitation

VOLUME 81 MW

CROISSANCE +10 %

CUM. INSTALLE 719 MWc

Systèmes isolés professionnels off-grid professional

VOLUME

CROISSANCE + 12 %

68 MW

CUMUL INSTALLE 545 MWc

Connexion au réseau distribuée On-grid distributed

VOLUME 1 016 MW

CROISSANCE + 80 %

CUMUL INSTALLE 2 609 MWc

Centrales solaires

On-grid central

VOLUME 17 MW

CROISSANCE +30 %

CUMUL INSTALLE 95 MWc

Modules pour grand public

Consumer modules VOLUME

38 MW

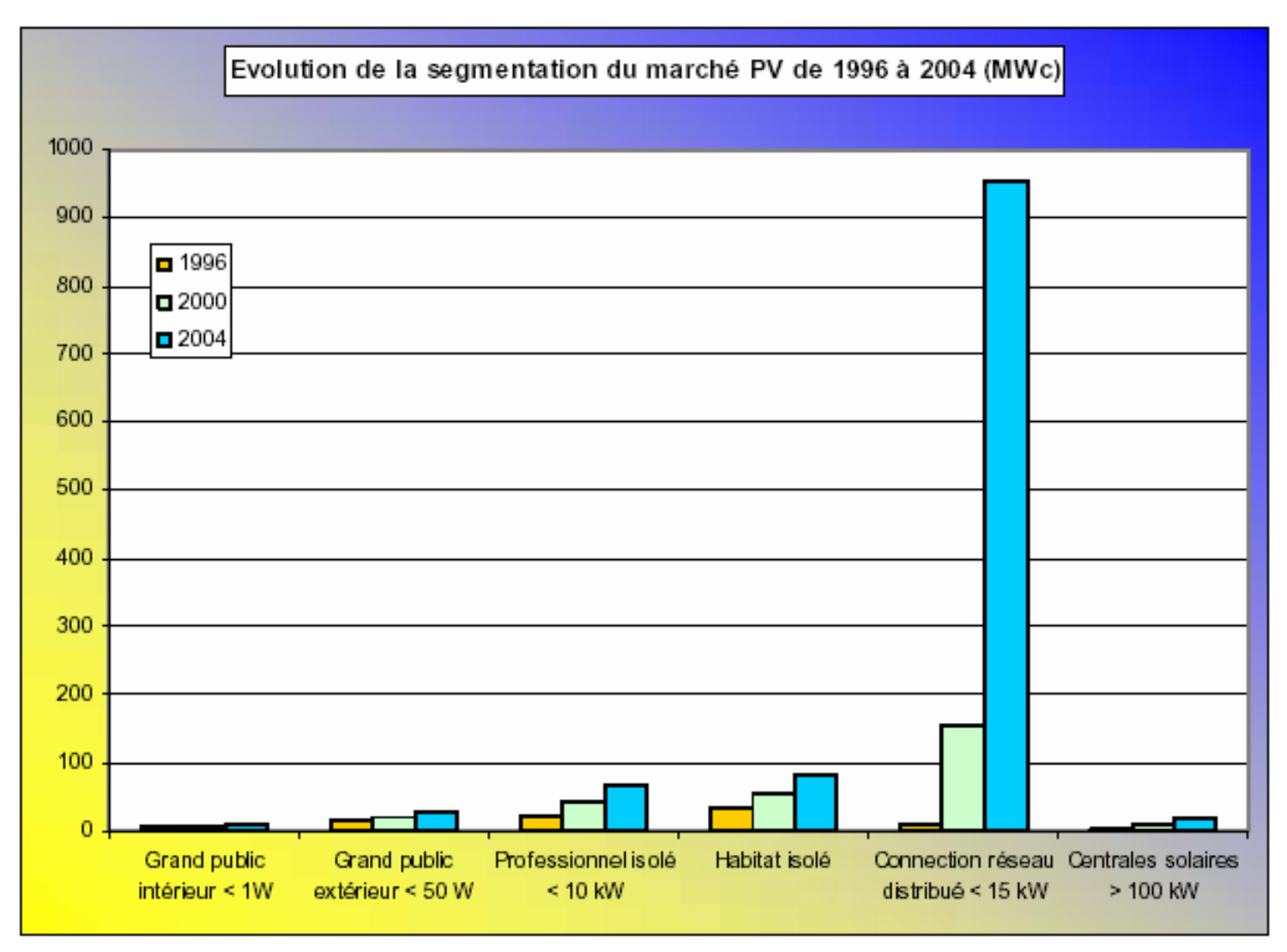
CROISSANCE + 9 %

CUM. INSTALLE 395 MWc

TOTAL en 2004 - VOLUME: 1 221 MW - CROISSANCE: +64 % - CUMUL: 4 365 MWc

Source: Cythélia

Evolution du marché





Source: Cythélia

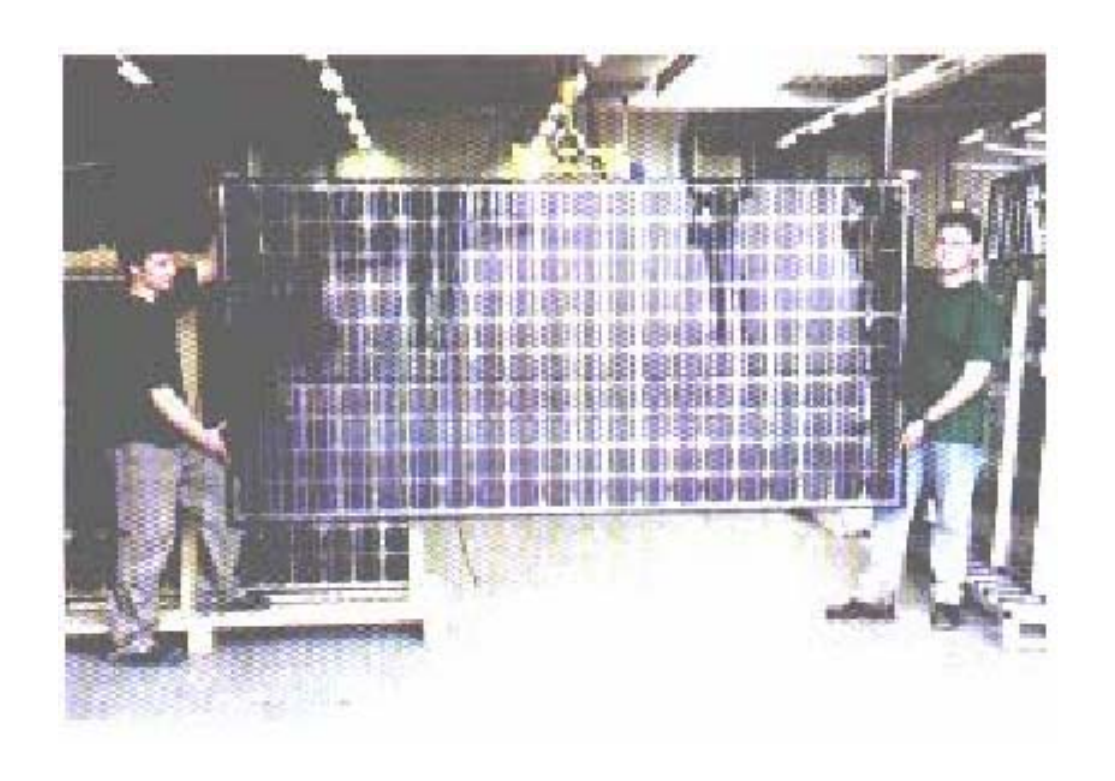
Technologies des modules: Cristallins

Silicium Monocristallin Silicium Polycristallin

- Mono- ou PolyCristal de silicium
- Sciés en plaquettes (épaisseur typ. 250 μm), "wafers"
- · (poly: cellules éventuellement tirées en rubans)
- · Traitements de surface (anti-reflet, dopage, électrodes)
- Encapsulées dans des modules (typ. 36, 72 cellules)
- Modules typiques: 50 200 Wc
- Efficacités courantes: Monocristallins 15-18%
- Polycristallins: environ 2% de moins
- 93% de la production mondiale



Modules de puissance



Module verre-verre de 200 cellules, 440 Wc $3 \times 1.5 \text{ m}^2$, 210 kg



Technologies couches minces

Couches déposées sur un substrat (verre, métal, plastique) Matériaux avec coeff. d'absorption élevé => Epaisseurs typique 1-2 μ m

Silicium amorphe:

- a-Si:H, simple cellule, tandem, triples
- Egap = 1.6 eV, Jonctions p-i-n
- · Longueur de diffusion courte => augmente résistivité
- Efficacités typiques 5% 8%

CIS ou CIGS

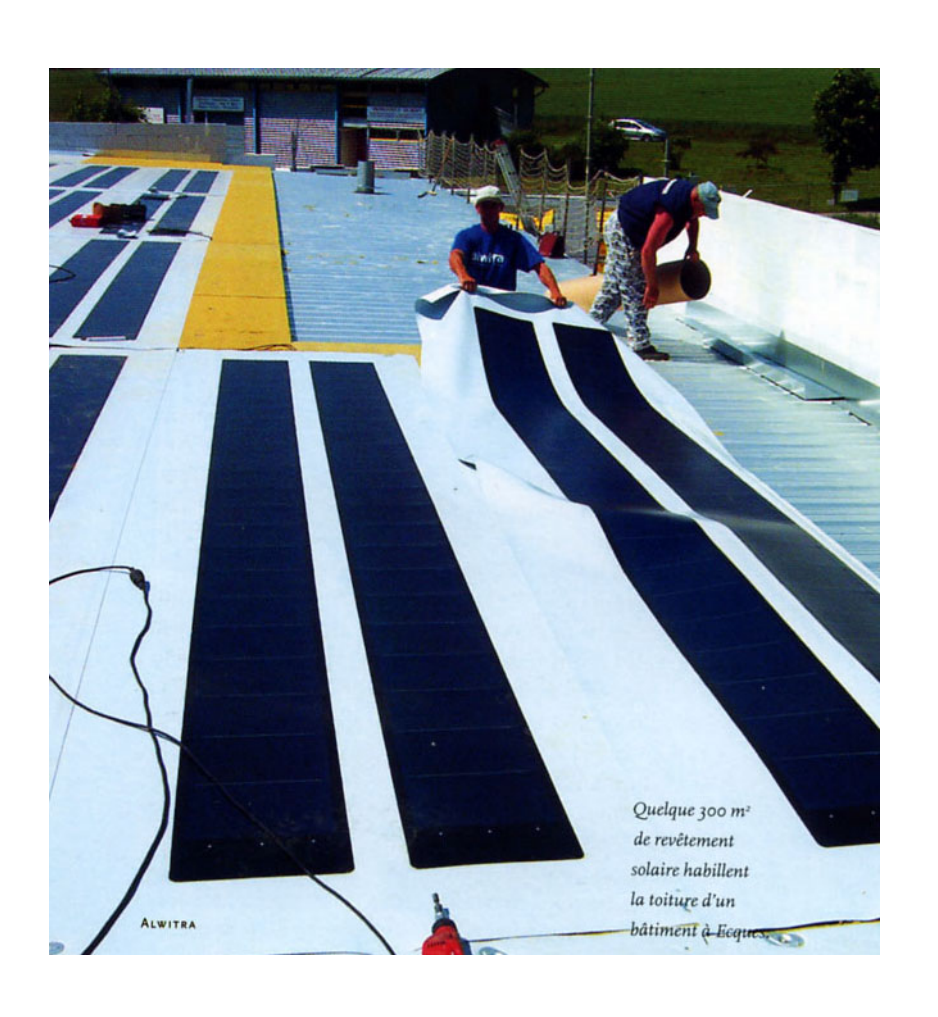
- CuInSe₂ Copper-Indium-Selenium + évent. Gallium
- Efficacités typiques 10%

CdTe

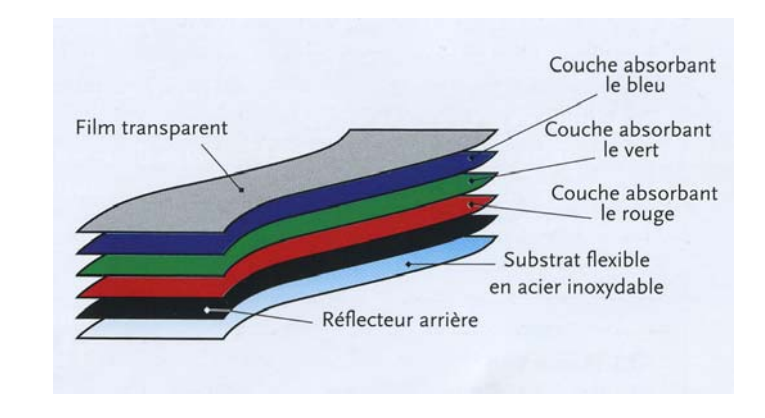
- Technologie simple
- Cadmium (très polluant problèmes de recyclage)
- Efficacités typiques 8% -



Capteurs amorphes

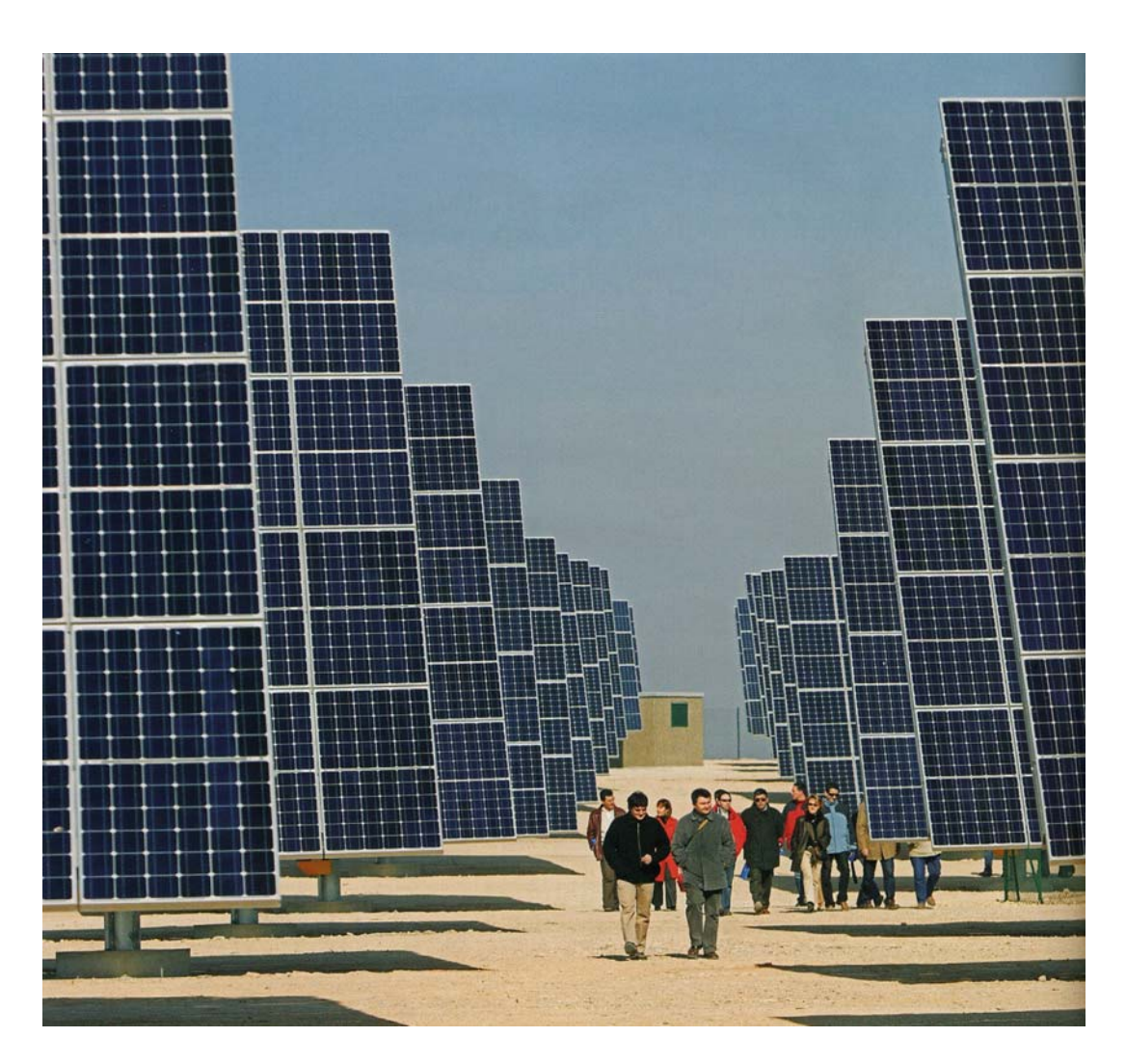


Capteurs en couches minces, déposés sur feuille d'acier cumule fonctions d'étanchéïté et de production PV Cellule amorphe triple jonction Rendement 6%





Suivi du soleil



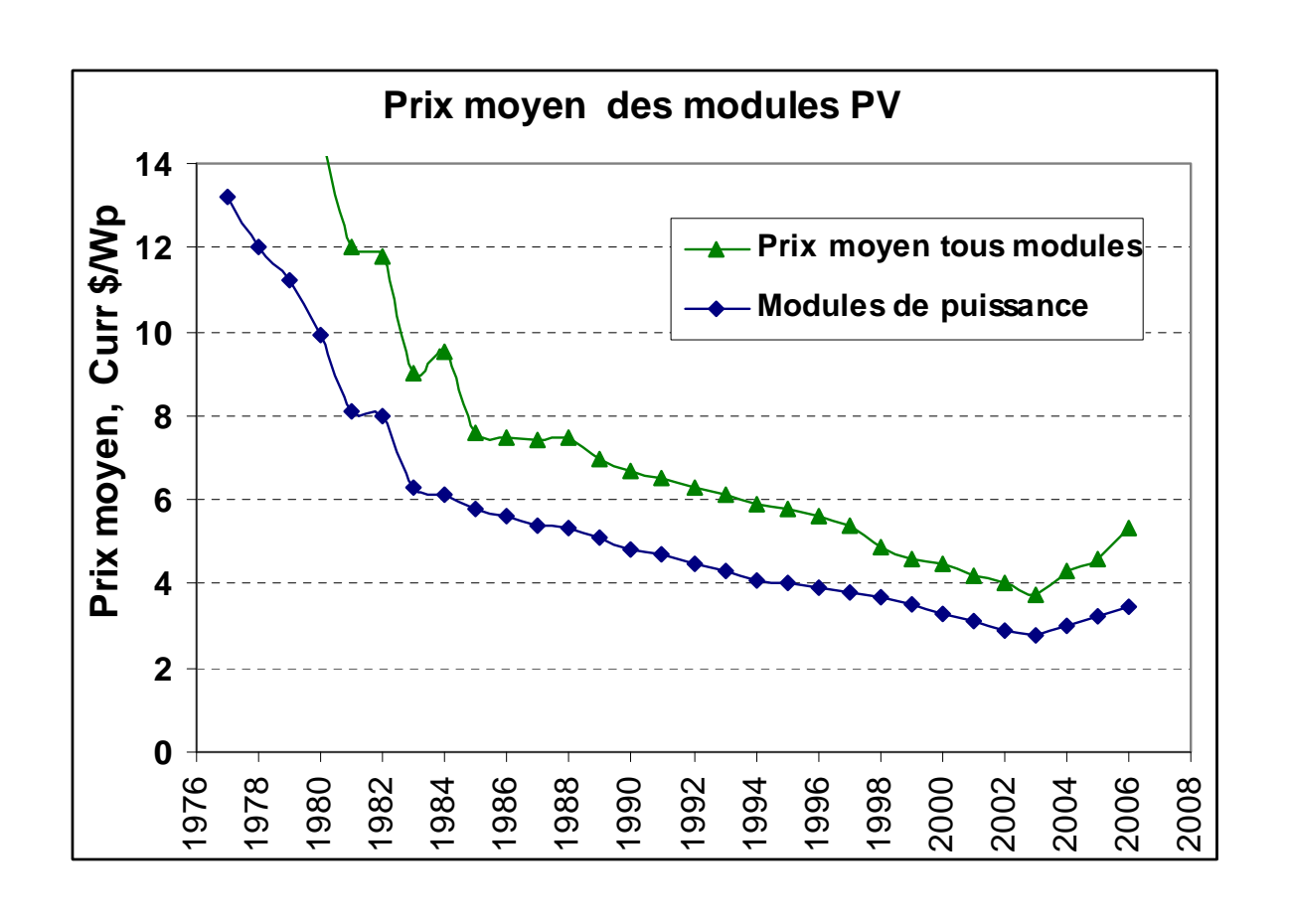
Dispositifs pour suivre le soleil:

Gain de 30-35%

Ne se justifient que dans les régions très ensoleillées



Prix des modules PV



Depuis 2004:

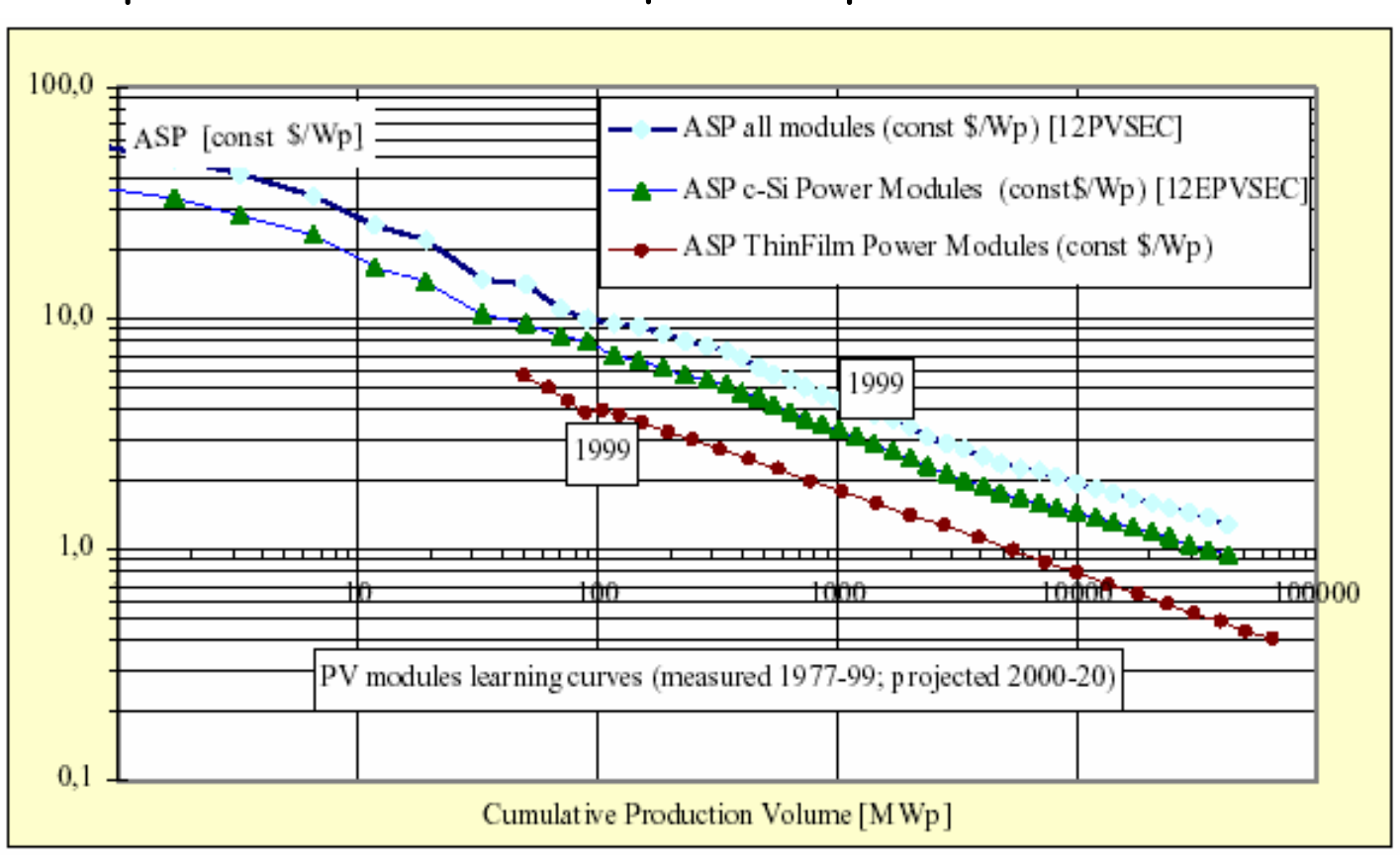
Pénurie de Silicium

Construction d'usines pour le silicium SG (Solar Grade)



Courbe d'apprentissage

Règle de Verdoorn (param. établis sur données 1994) Le prix diminue de 18% quand la production cumulée double



2005:

c-Si:

5.3 MWc

2.3 \$/Wc



Activités PV au CUEPE

- > Logiciel PVsyst
 - Etude détaillée de systèmes photovoltaïques Outils pour l'énergie solaire (météo, géométrie solaire, ombrages, comportement de composants) Distribué dans 50 pays - 550 entreprises/universités
- Modélisation des modules PV amorphes
 Nécessaire pour confiance/expansion de cette technologie
- Systèmes de pompage PV Modélisation de pompes et systèmes
- Unité de production d'Hypochlorite "solaire" Pour la potabilisation de l'eau en zones isolées



Modélisation des modules PV

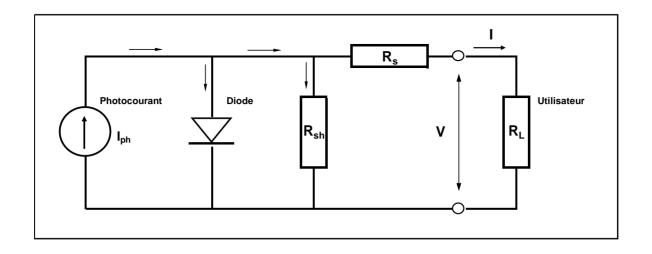
Mesure de la caractéristique I/V toutes les 10 minutes

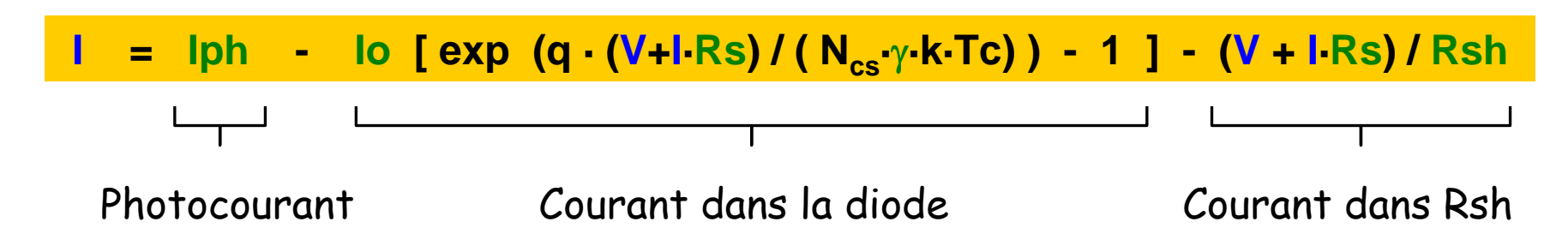




Modèle "standard" à 1 diode

La cellule PV peut être représentée par le shéma équivalent suivant:

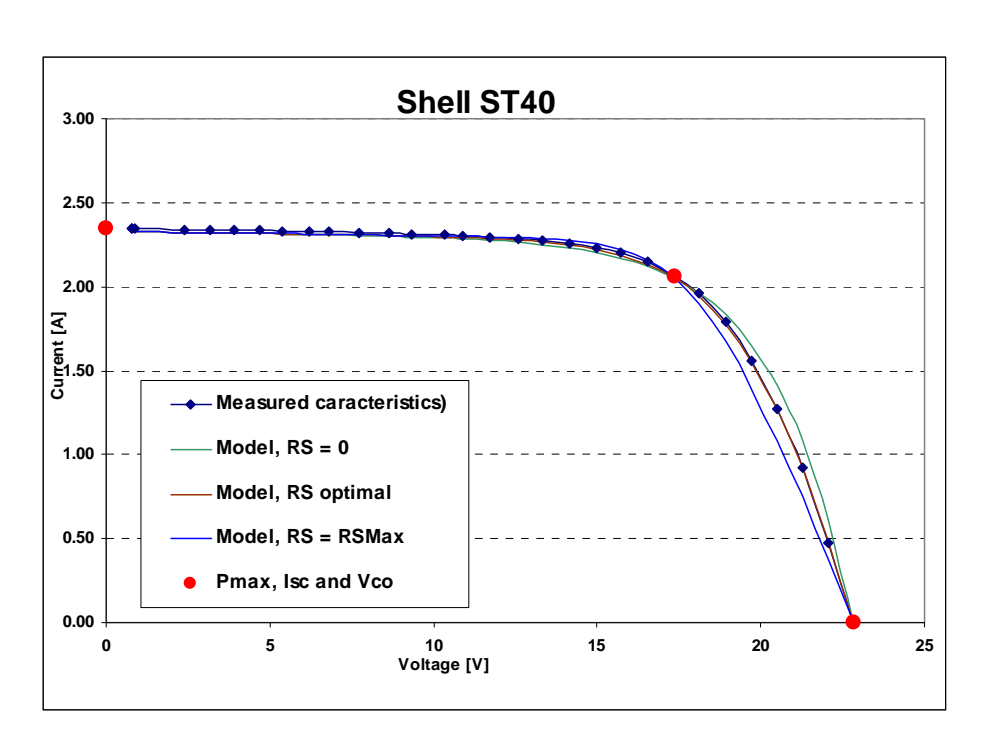






Paramètres du Modèle Standard

Pour déterminer les 5 paramètres (Iph, Io, Rsh, Rs, γ) La mesure complète d'une caractéristique I/V à (Gref, TRef) suffit!



Rsh est déterminé par l'inverse de la pente à Isc = 0

La caractéristique écrite aux 3 points remarquables donnés dans toutes les spécifications:

(0, ISC) (Vmp, Imp) (Vco,0)

donne 3 équations, dont la résolution laisse un seul paramètre libre, par exemple Rs

=> Pour une valeur donnée de Rs, on peut calculer Iph, Io et γ , donc le modèle I/V complet



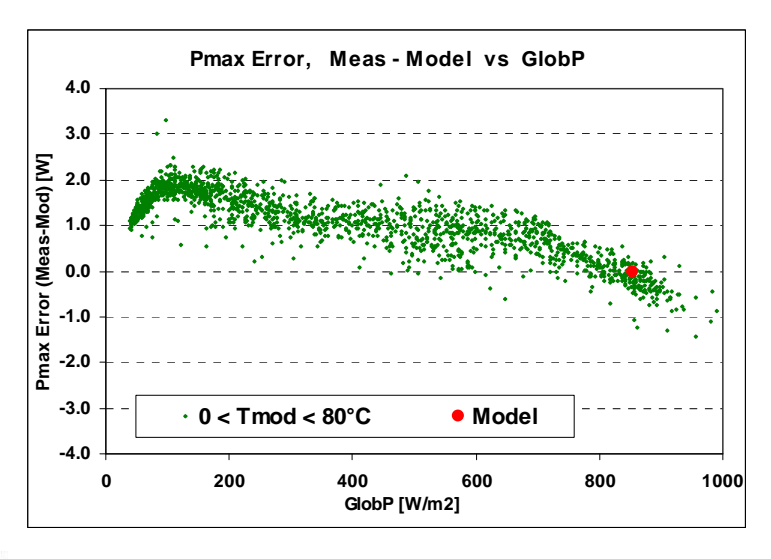
Validations du modèle

Le but du modèle est de restituer le comportement du module réel dans toutes les conditions d'irradiance et température.

· La qualité du modèle est estimée par les indicateurs suivants:

$$\mu = \Sigma$$
 (Val. mes - Val. modèle) / Nmes

 $\sigma = SQRT [\Sigma (Val. mes - Val. modèle)^2 / Nmes]$



Ex: Module Si-mono 53 Wc

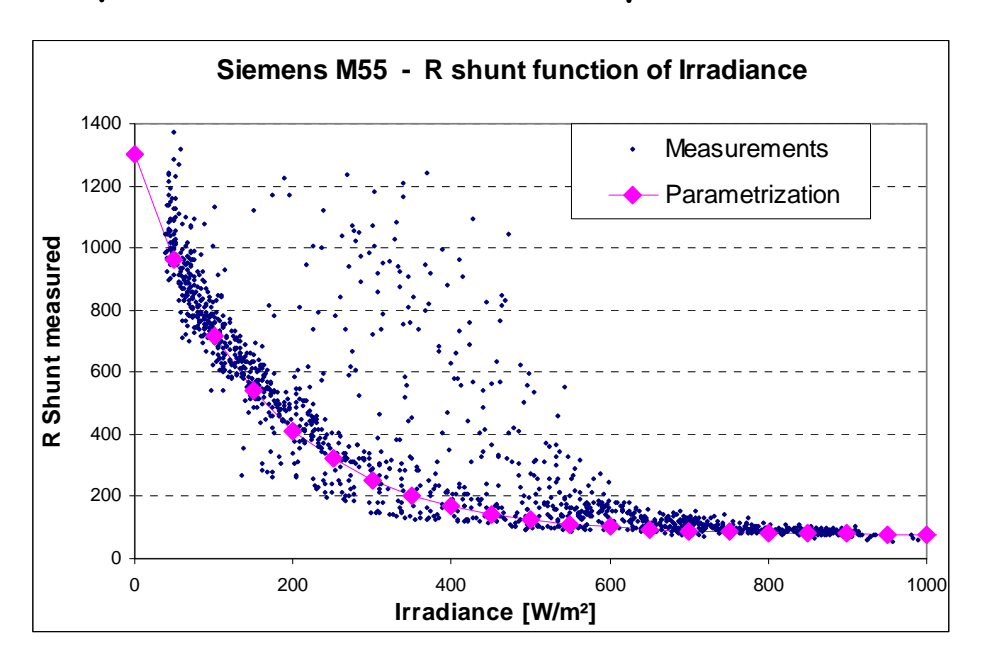
modèle standard "brut":

$$\mu = 2.0\%$$
 $\sigma = 1.3\%$ (% de Pnom)



Correction Rshunt

Le modèle "standard" postule une Rsh constante. Or on constate qu'elle a une allure exponentielle selon l'irradiance:

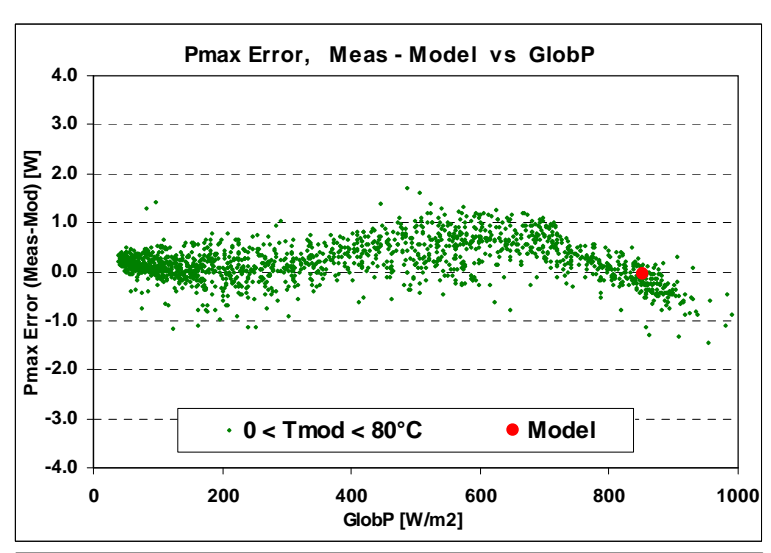


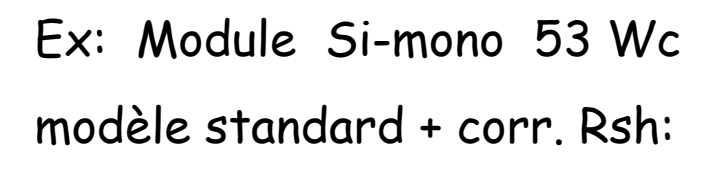
$$R_{sh} = R_{sh} (GRef) + [R_{sh}(0) - R_{sh}(Gref)] * exp(-R_{sh}exp - (G/Gref))$$

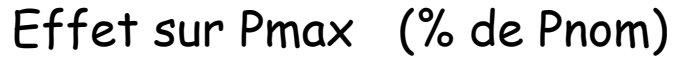
(R_{shExp} fixé à 5.5 pour tous les modules)



Modèle avec corr. Rshunt

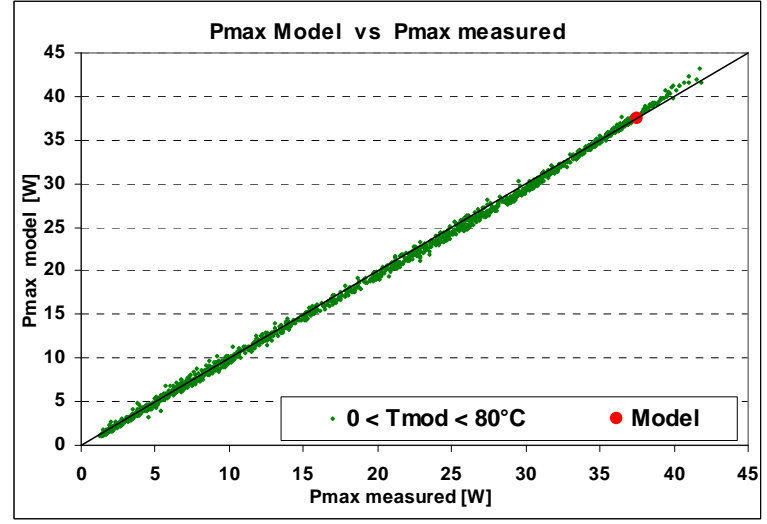






Sans corr:
$$\mu = 2.0 \% \sigma = 1.3 \%$$

Avec corr:
$$\mu = 0.4 \% \sigma = 0.7 \%$$



Effet sur la modélisation de Vco:

Sans corr: $\mu = 3.1 \% \sigma = 6.1 \%$

Avec corr: $\mu = -0.2 \% \sigma = 1.0 \%$

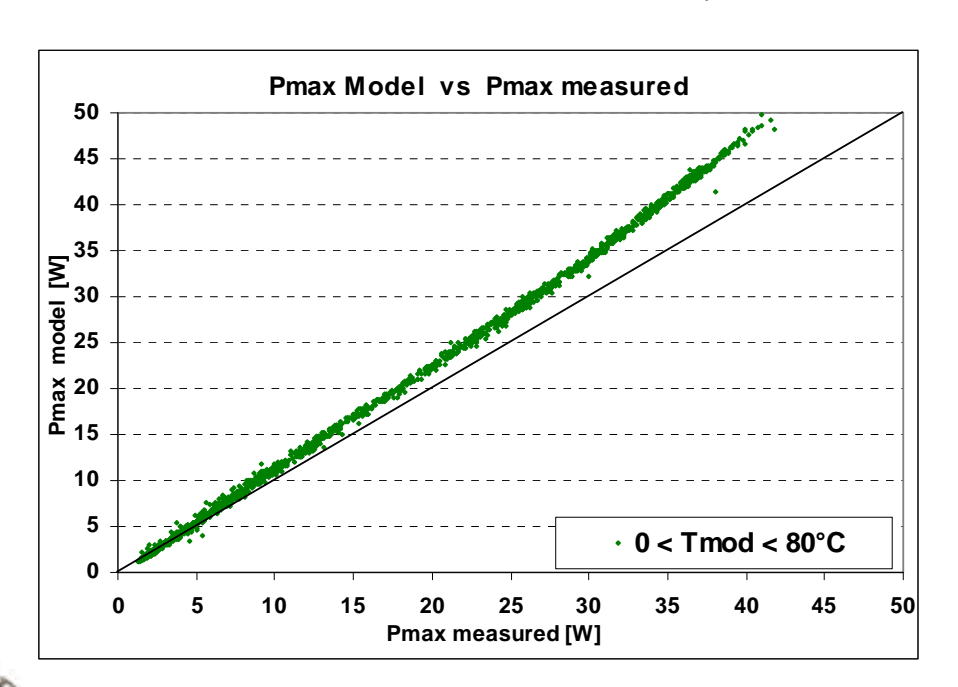
Avec spécifications fabricant

Ne pas confondre

Précision du modèle et Précision des paramètres

Modèle de qualité: si on peut trouver des paramètres pour qu'il restitue le comportement dans toutes les situation

Paramètres constructeur: peuvent être non-représentatifs du module



Mais ce sont les seuls dont on dispose pour les simulations!

Ex: Module Si-mono 53 Wc Selon fabricant:

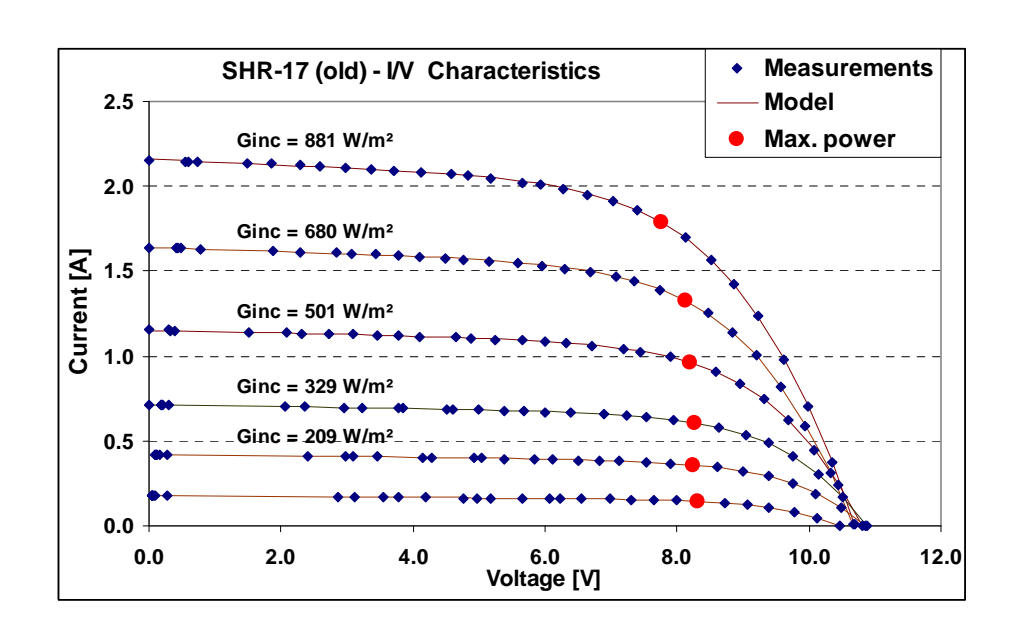
$$\mu = -4.5 \%$$
 $\sigma = 4.0 \%$



Modélisation modules amorphes

3 corrections du modèle standard:

- · Correction Rshunt poids beaucoup plus important
- · Courant de recombinaison dans la couche -i-
- · Correction de sensibilité spectrale



Pour une caractéristique mesurée, il est toujours possible de construire le modèle avec grande précision

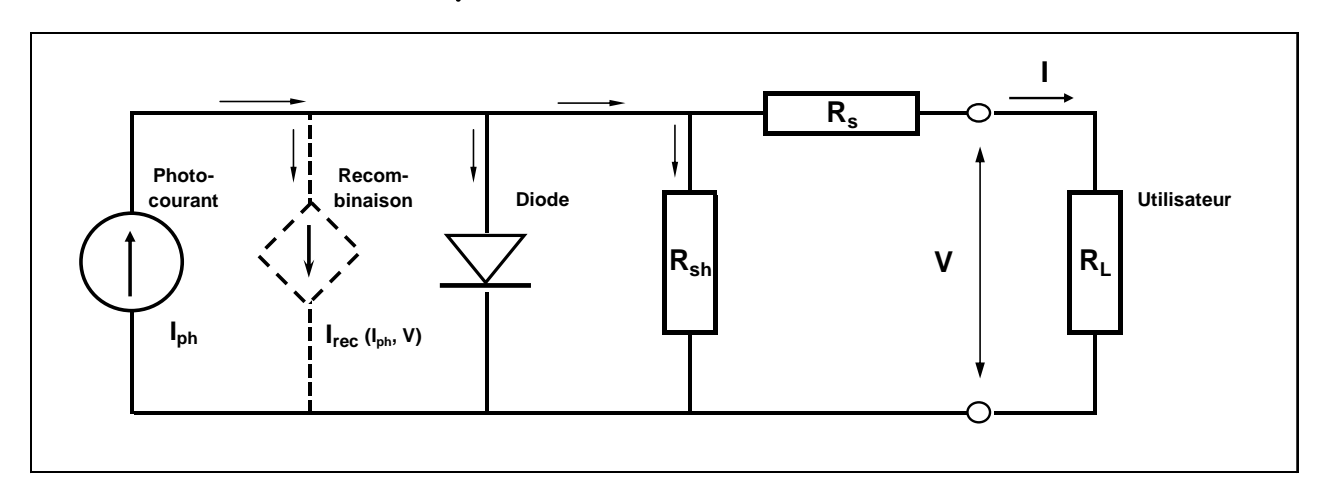
(erreurs $\sigma(I) < 0.4\%$)

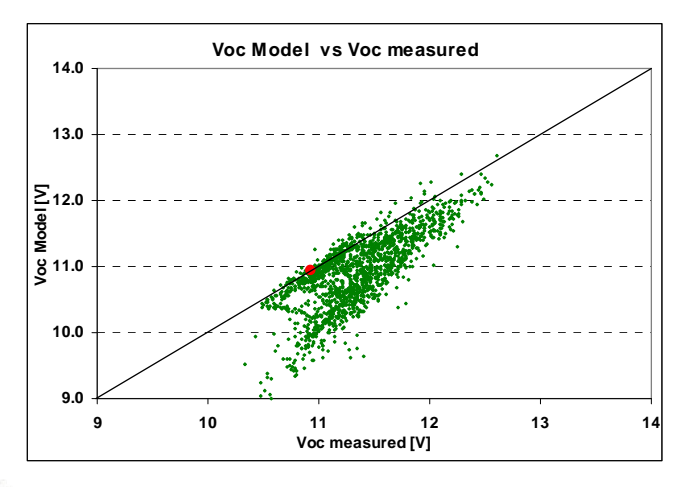


Correction de recombinaison

Ajoute un terme dans l'équation I/V

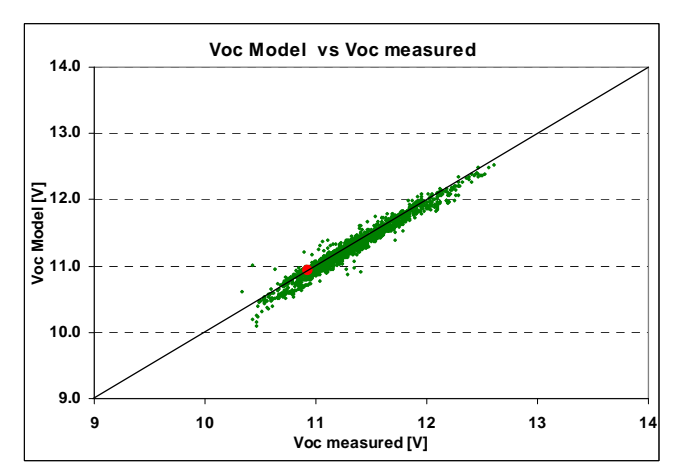
[Mertens et al]





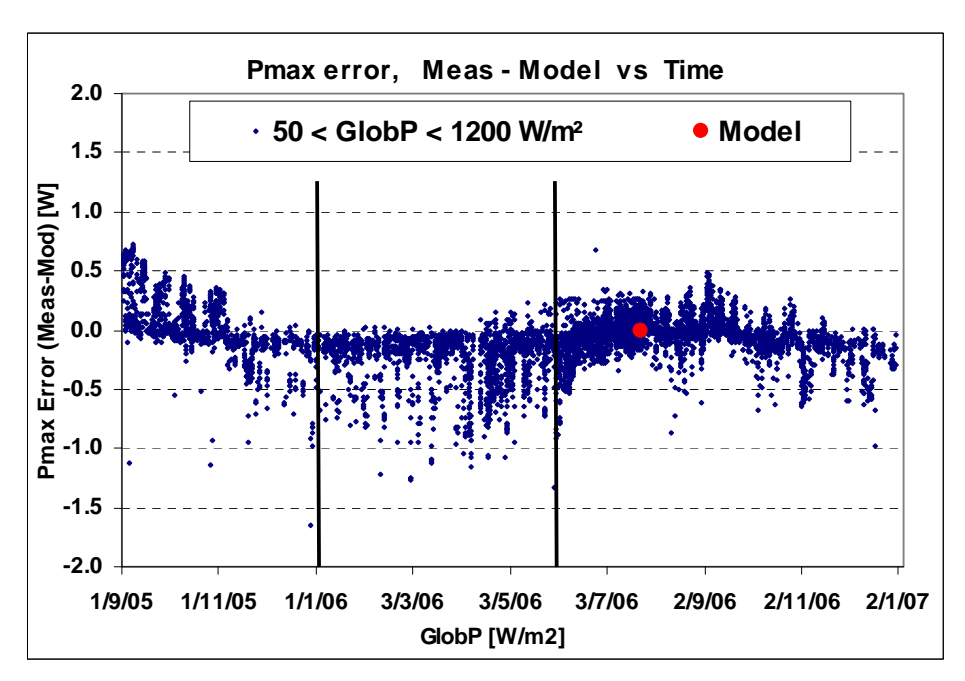
Paramètre d²μτ

Effet sur la tension Vco





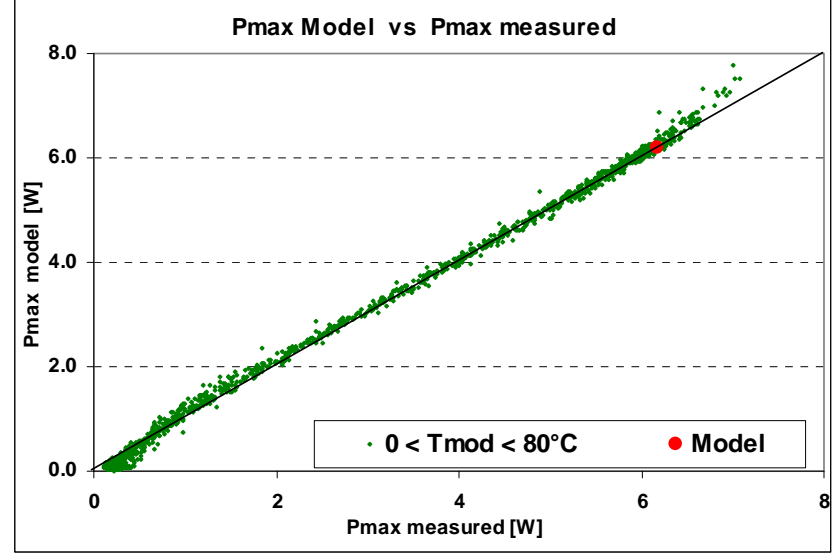
Avec toutes corrections



Dégradation initiale - 5% Sur l'année complète: phénomène d'annealing $\mu = -1.3\%$, $\sigma = 3.4\%$

Sur Juillet-août seuls:

$$\mu$$
 = -0.9%, σ = 1.6%





Pompage Photovoltaïque





Modèle de pompe

Etablir un modèle mathématique

- > qui représente le fonctionnement de tous les types de pompes
- dans toutes les conditions de fonctionnement (puissance/tension variables selon disponibilité soleil)
- > qui peut être établi avec les données fabricant

On a 4 variables:

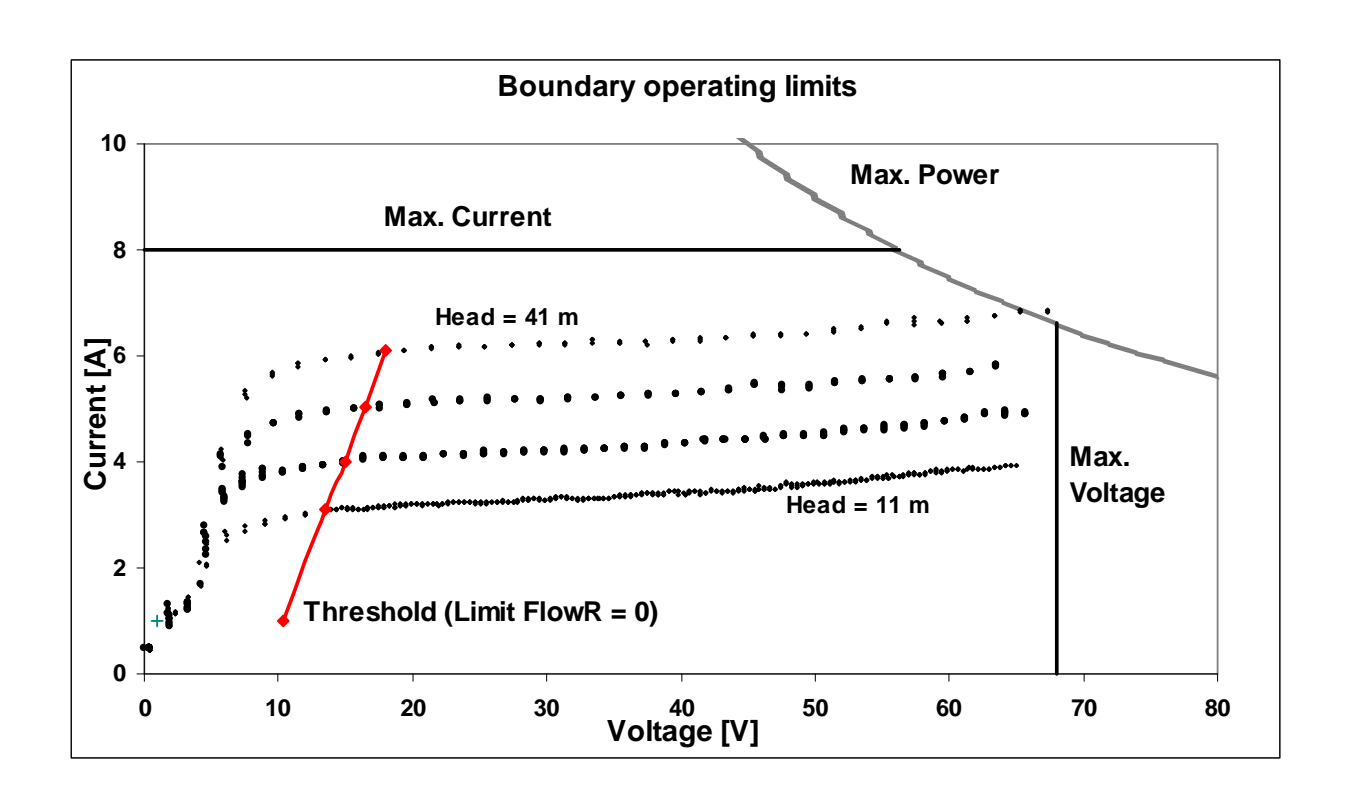
- Electriques: Tension et Courant (ou Puissance)
- Hydrauliques: Pression et Débit

Le modèle doit établir toutes les relations entre ces variables



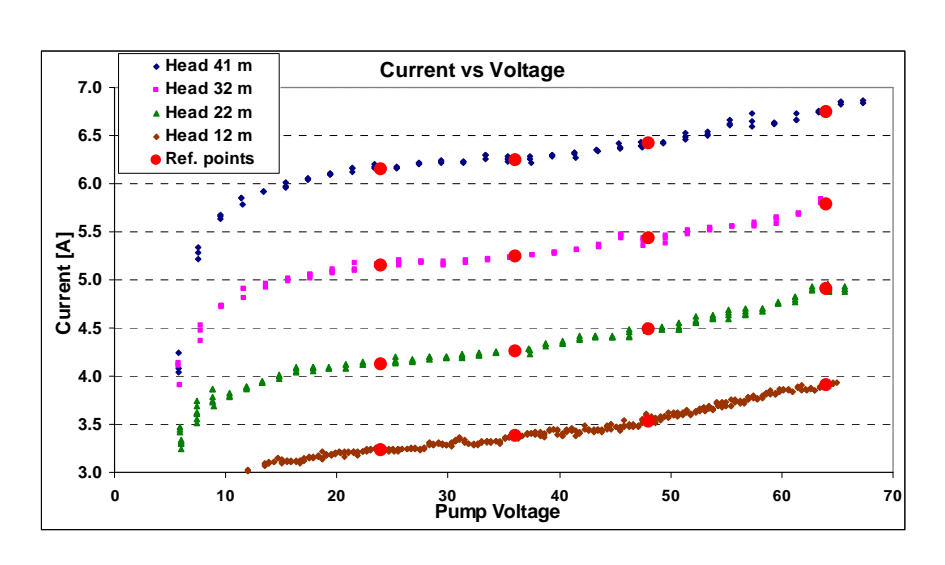
Modèle de pompe

.... en tenant compte de toutes les conditions aux limites (seuils et maximums)





Précision du modèle

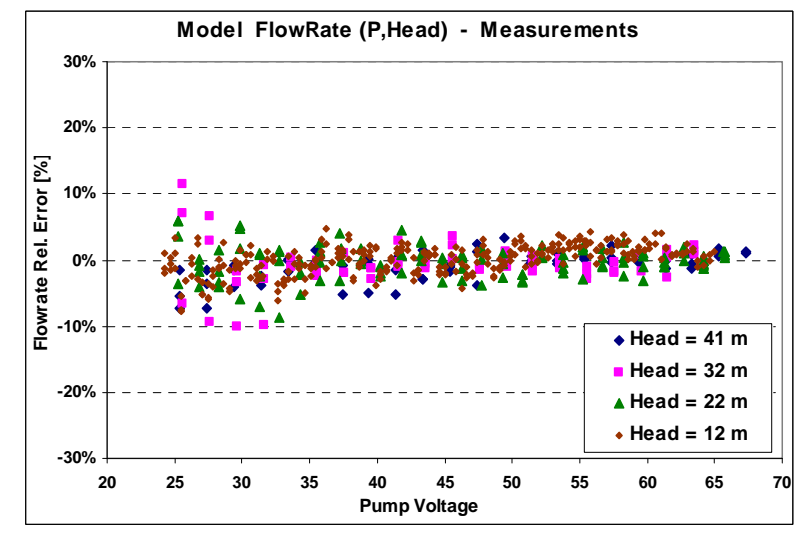


Principe:

On cale le modèle sur les points de fonctionnement donnés par le constructeur

Si les données de base sont bonnes et complètes:

la précision du modèle est excellente

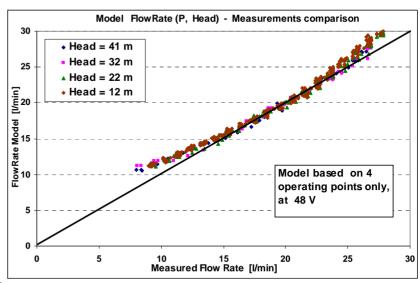


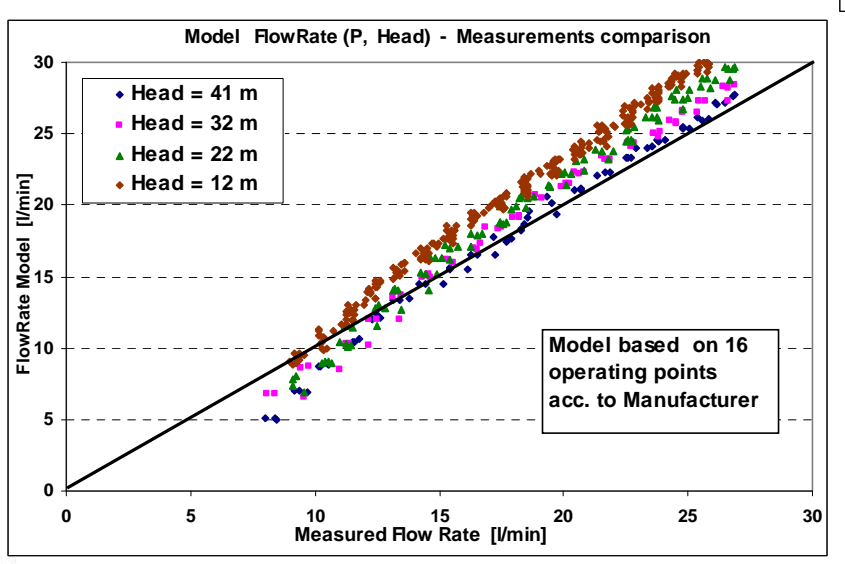


Précision du modèle

Si les données sont incomplètes (ici seulement 4 points à 48V)

Le modèle est acceptable dans la zone de spécification





Avec les données fabricant:

On peut avoir des écarts importants Mais pas imputables au modèle

cuepe



Simulation du système

Objectif:

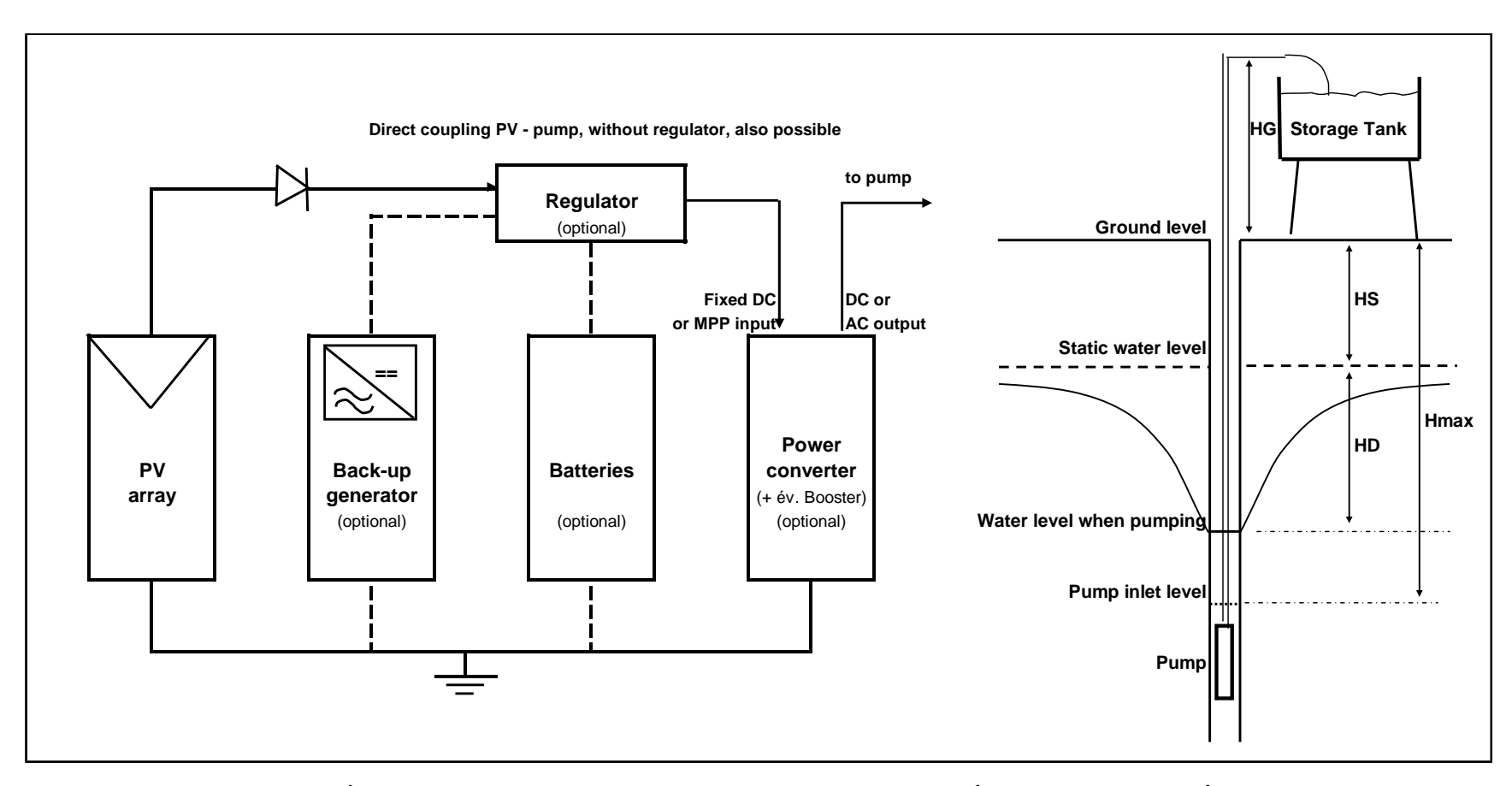
A partir des besoins de l'utilisateur (volume d'eau selon saisons, hauteur de pompage) Et des conditions météorologiques (sur l'année)

Dimensionner et simuler le système de pompage:

- · Puissance de la pompe
- · Débit nominal
- Puissance du champ photovoltaïque
- · Configuration du système et régulation
- · Optimisation économique



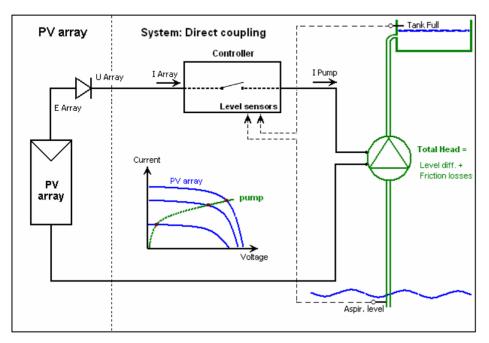
Modèle du système



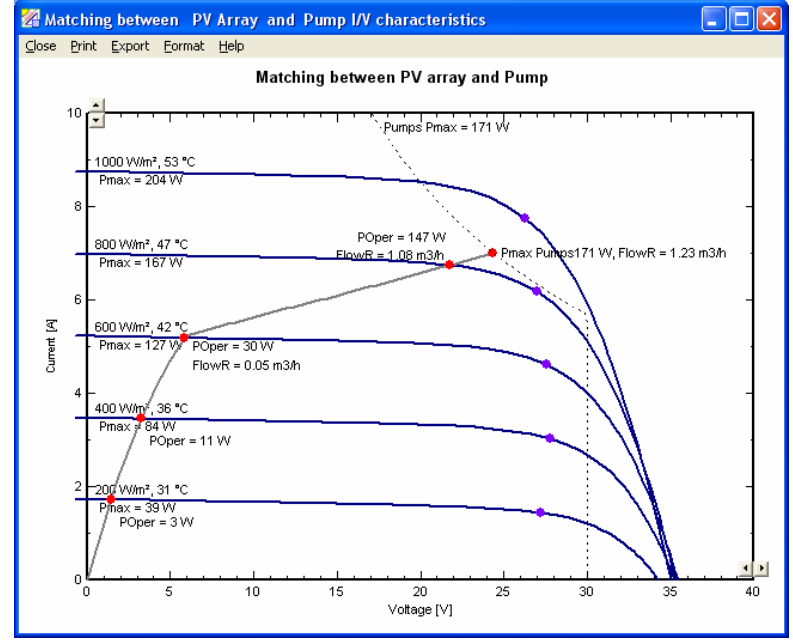
Modèle de puits: la profondeur dépend du débit



Couplage direct



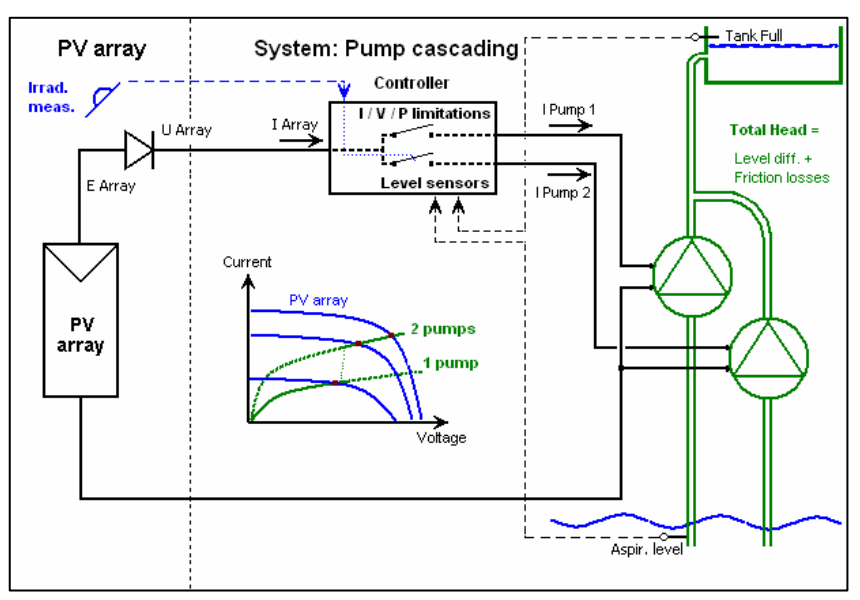
Mauvaise adaptation: à bas ensoleillement, le champ PV n'est pas capable de fournir le courant





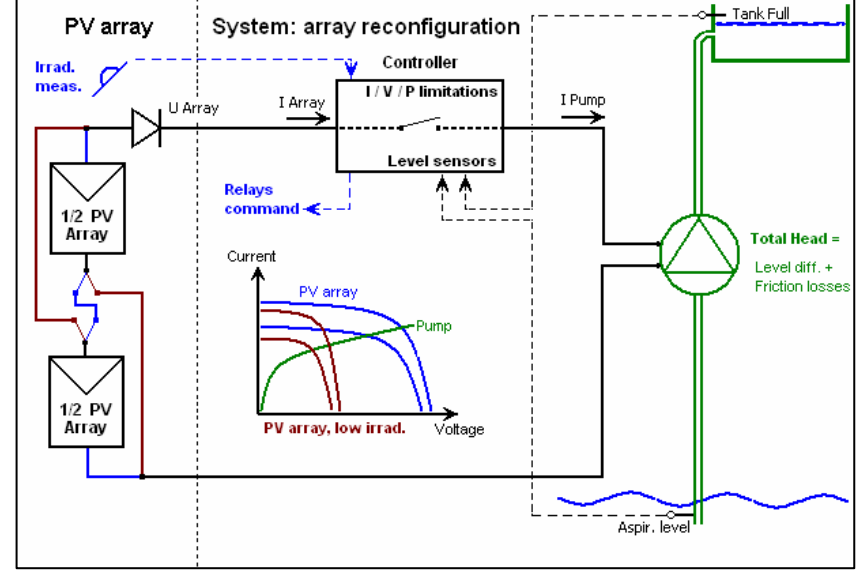
cuepe

Stratégies d'amélioration



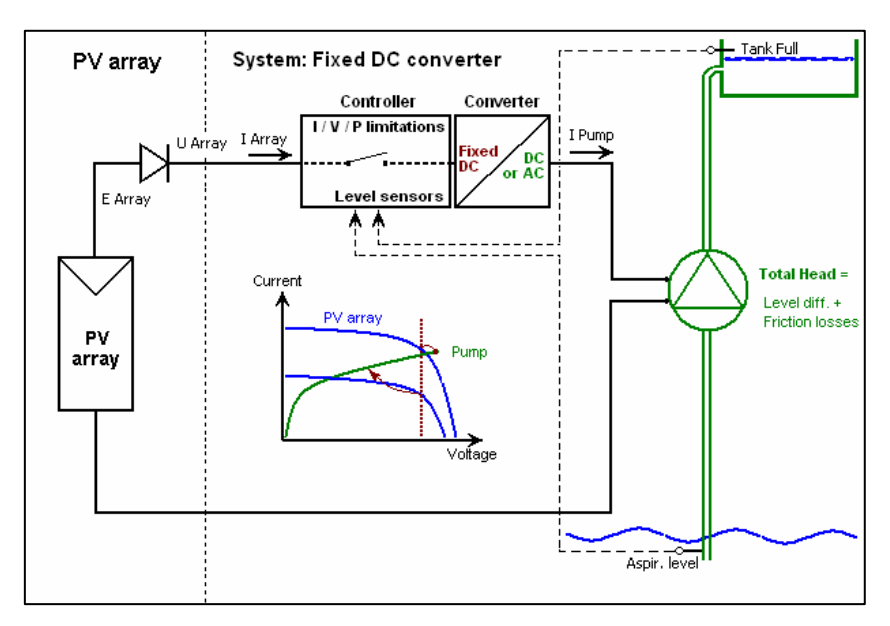
2 pompes enclenchées en cascade

Reconfiguration du champ PV en parallèle / série



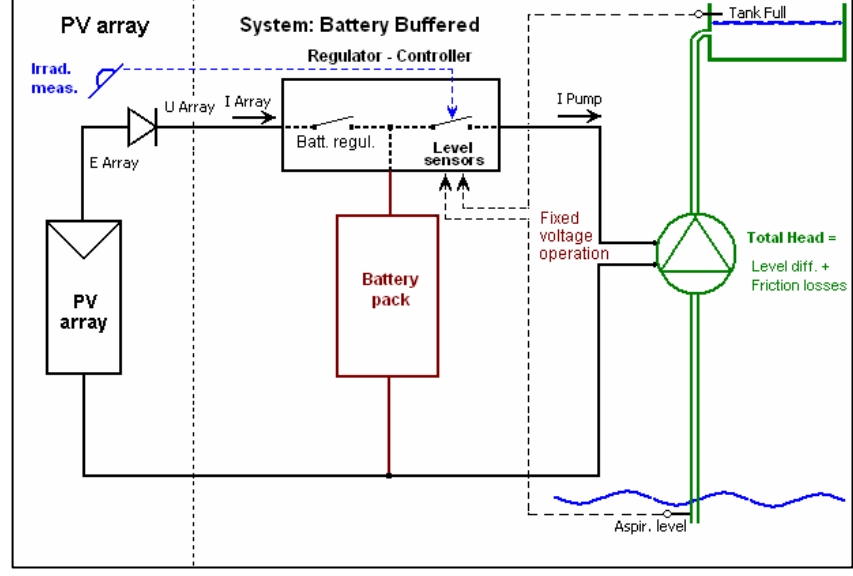


Configuration optimale



Avec convertisseur électronique (DC-DC ou DC-AC)

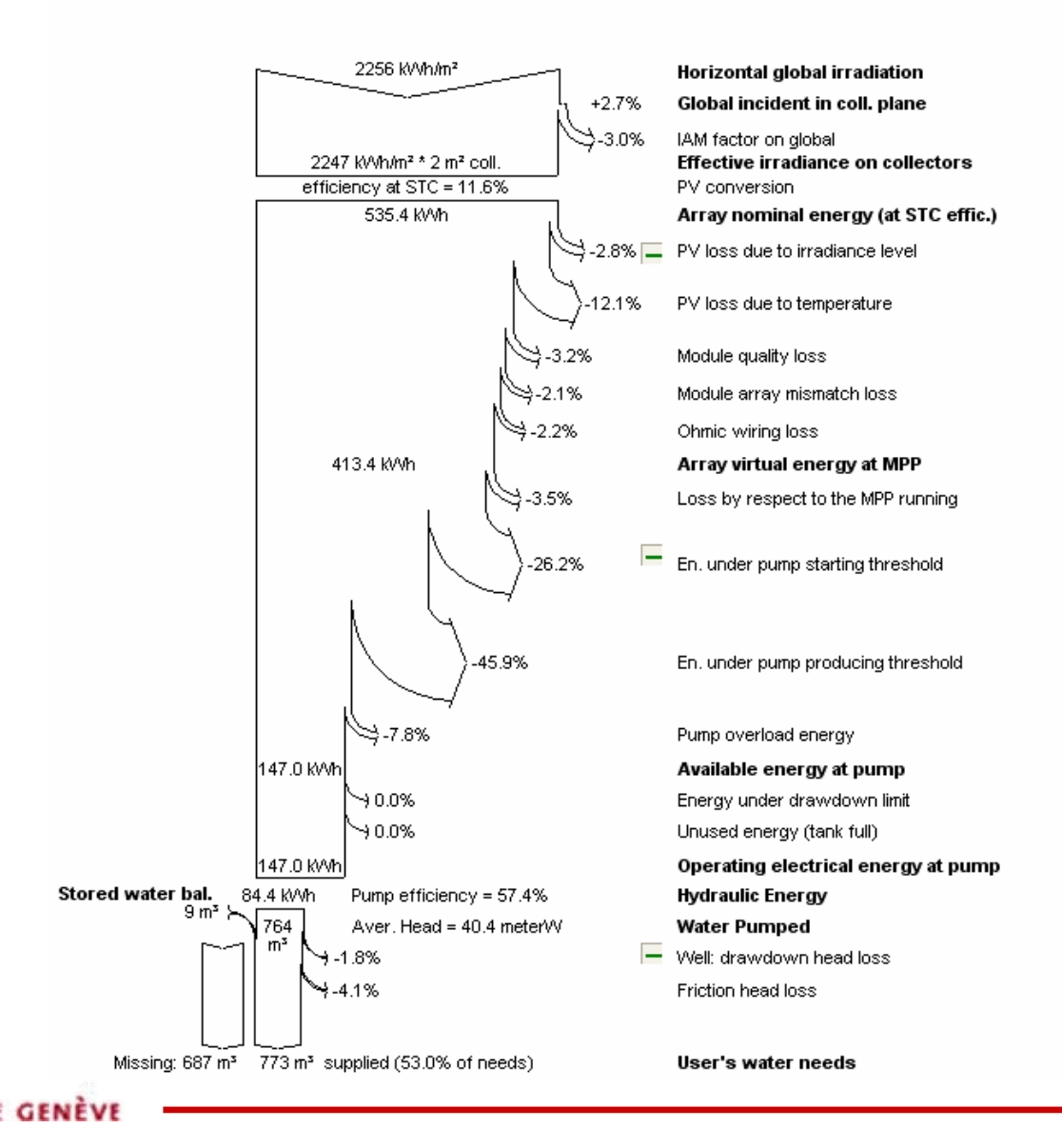
ou avec batterie tampon





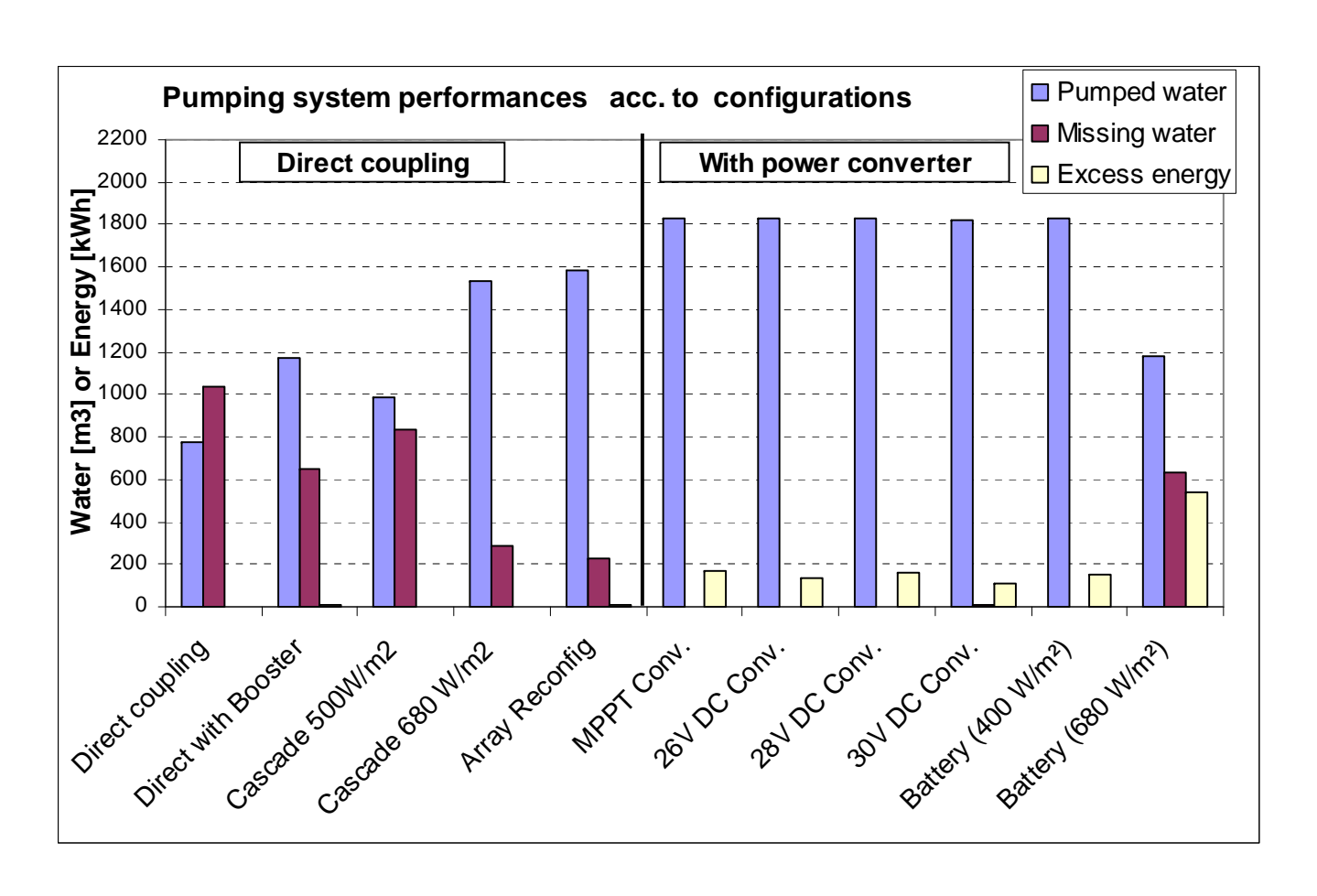
Pertes système

Loss diagram for "4 m3/day, H=38m, PV=240Wp, Pumps: 2 x 98W, direct coupling" - year



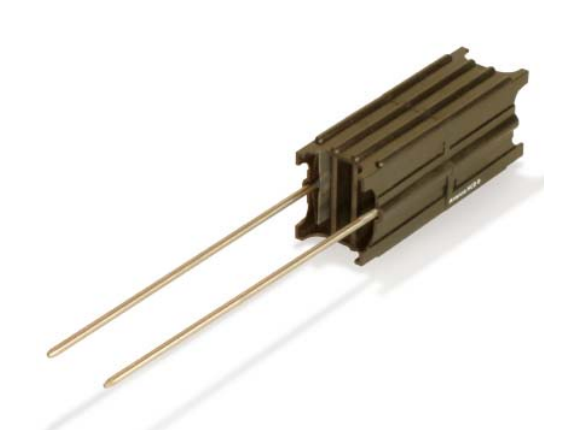


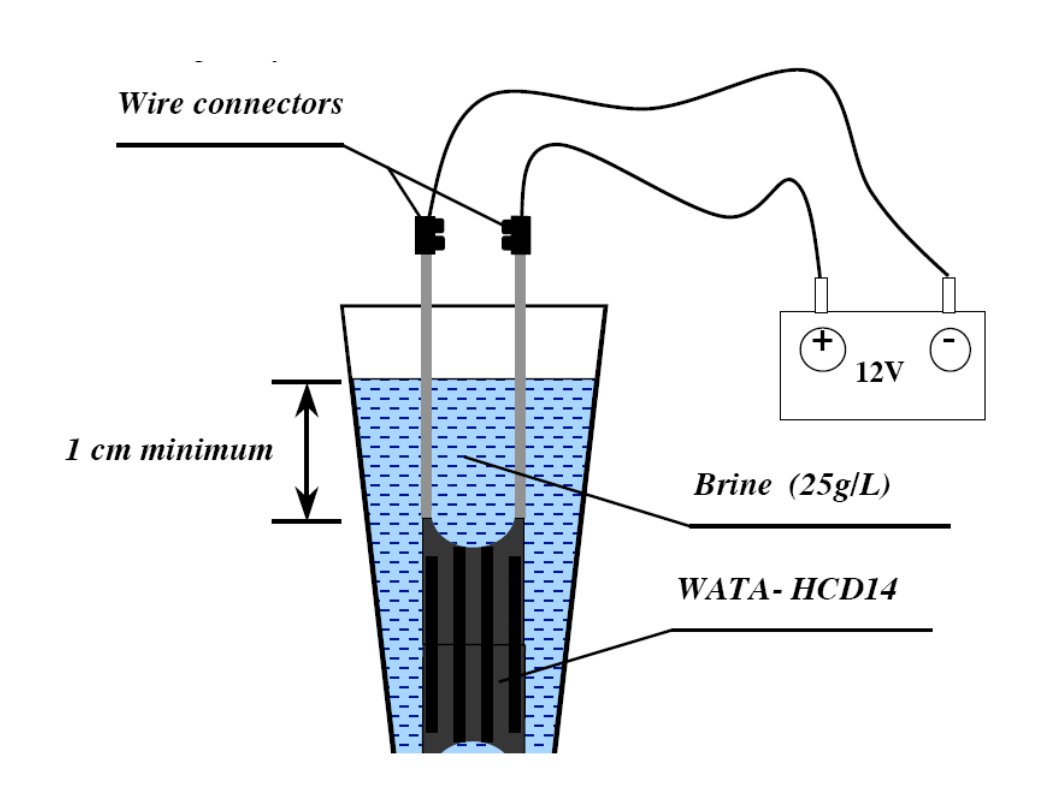
Résultats comparatifs











Production d'hypochlorite (eau de javel) à partir d'eau salée pour la potabilisation de l'eau en PVD



Production d'Hypochlorite (eau de Javel) à partir de sel (NaCl) ou même d'eau de mer pour la potabilisation de l'eau en conditions de brousse

Appareil d'électrolyse développé et distribué par Antenna Technologies (ONG basée à Genève)

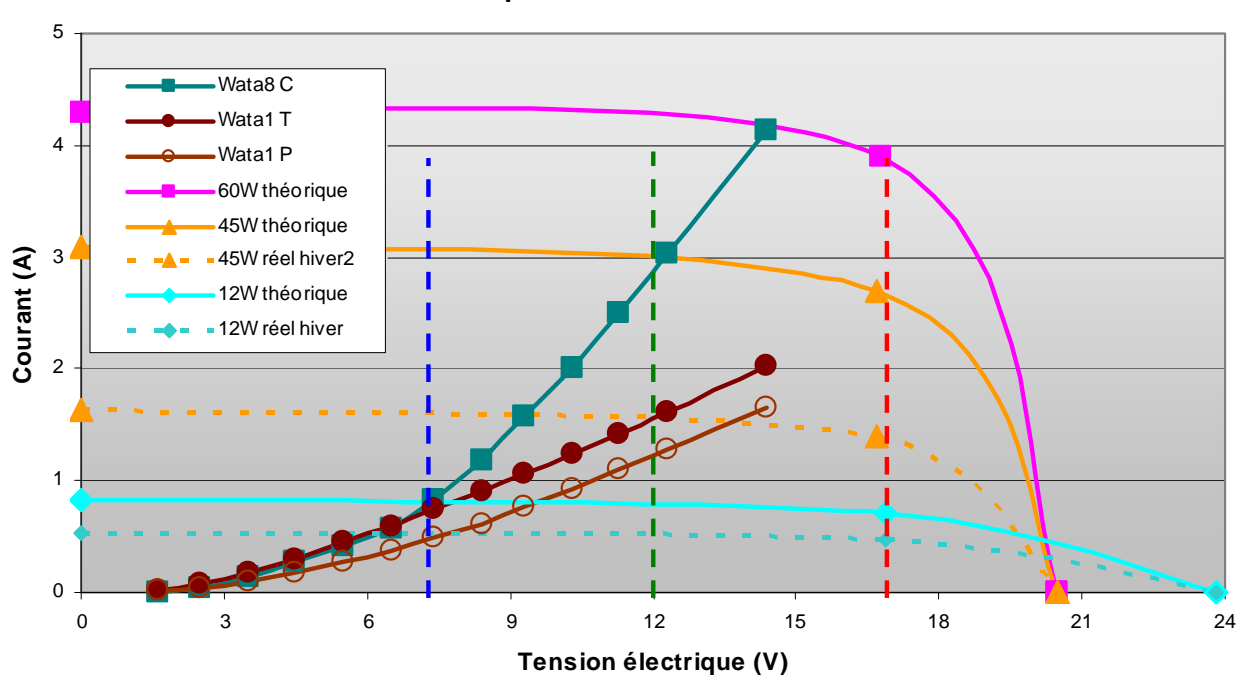
Fonctionne actuellement sur batteries 12V / 3A 6 heures d'électrolyse produisent 60 gr d'hypochlorite suffisant pour potabiliser 3000 l d'eau.

Equivalent de la production 1 jour d'un module PV de 60 Wc



Utilisation autonome avec un panneau PV de 60 Wc: La caractéristique électrique n'est pas adaptée

Charges des Wata comparées aux caractéristiques I/V de différents panneaux solaires





Développement d'un régulateur électronique :

- Adaptation/optimisation du courant de fonctionnement (fonctionnement par impulsions)
- Contrôle de l'utilisation
 (Avertissement si mauvaise concentration de sel, température, court-circuit, électrodes hors de l'eau, etc)
- Contrôle du fonctionnement
 (Comptage du courant délivré, concentration d'hypochlorite)
- > Simplicité de maniement et robustesse!
- > Prix !!!



Conclusions

La technologie PV a des implications:

- Régions développées: production d'énergie Jusqu'à 20% de l'énergie électrique
- Régions isolées/en développement: prestation de service
 30 % de la population mondiale sans électricité

Activités de recherche PV au CUEPE

- Etude / Simulation de systèmes (logiciel PVsyst)
- · Systèmes couplés au réseau (efficacité énergétique)
- Systèmes autonomes (dimensionnement)
- · Systèmes de pompage (recherche spécifique d'optimisation)
- · Utilisation de technologies nouvelles (modélisation amorphes)
- · Utilisations spécifiques de service (potabilisation)

